

Harald Nahrstedt

Das Turm-Weg-Problem (TI-59)

In Martin Gardners Buch „Mathematischer Karneval“ wird ein Problem auf dem Schachbrett angedeutet, dem ich in abgewandelter Form den Namen „Turm-Weg-Problem“ gegeben habe. Es lautet wie folgt:

Ein Turm steht auf dem Königsquadrat eines Schachbretts. Entsprechend seiner Bewegungsmöglichkeiten soll er den längstmöglichen Weg zurücklegen, ohne dabei eine Wegstrecke mehrmals zu benutzen.

Dieses Problem lässt sich (wie das 8-Damen-Problem in „Bild der Wissenschaft“, Heft 10/78) auf eine Baumstruktur zurückführen, dessen Lösung man durch „Probieren und Überprüfen“ erhalten kann. Die Bewegung des Turmes über mehrere Felder hinweg wird in das Vorrücken um einzelne Felder zerlegt. Damit ergeben sich für das Ausgangsfeld nach Fig. 1 drei Alternativen. Diese wiederum ergeben neue Alternativen, usw. Damit sind wir schon bei der Baumstruktur, wie sie Fig. 2 wiedergibt. Bleibt also nur noch die Frage zu klären: Nach welchem Algorithmus wird die Baumstruktur durchmustert?

Der Trick für das nachfolgende Verfahren heißt: „Immer rechts herum“. Wir versuchen also immer unsere Bewegungsrichtung rechts herum forzusetzen. Erst wenn dies nicht möglich ist, versuchen wir links herum. Wenn dies auch nicht möglich ist, gehen wir rückwärts fort. Erreichen wir dabei die Gegenrichtung zu der Richtung, unter der wir unser Ausgangsfeld begonnen haben, so ist die Prozedur beendet. Auf diese Weise wird die gesamte Baumstruktur durchmustert, wie in Fig. 3 an einer einfachen Baumstruktur graphisch demonstriert ist. Das Prinzip „immer rechts herum“ wird durch die gestrichelte Linie angezeigt. Alternativ wäre „immer links herum“.

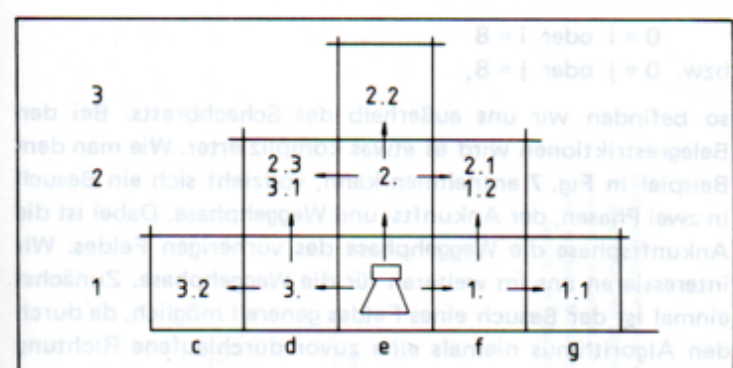


Fig. 1

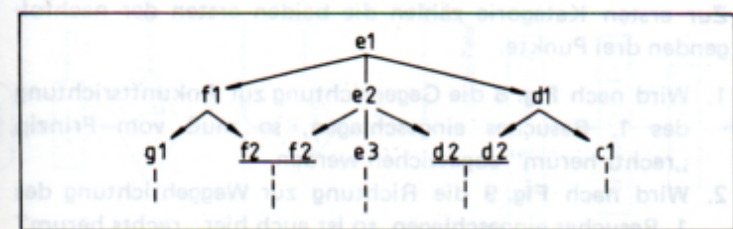


Fig. 2

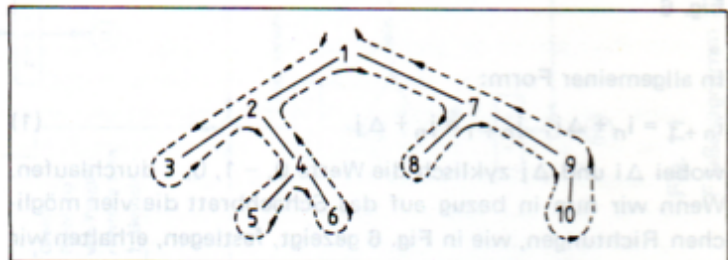


Fig. 3

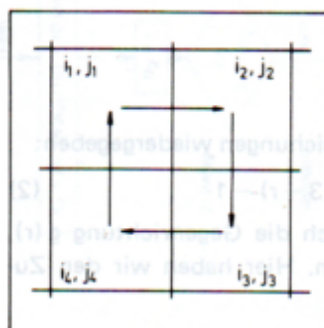


Fig. 4

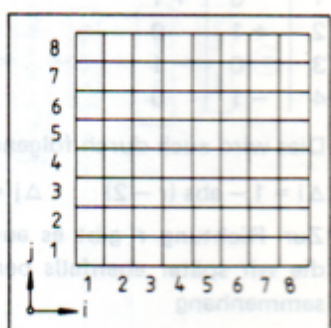


Fig. 5

lich ist oder bereits praktiziert wurde, setzen wir unsere Bewegung mit fallender Priorität gerade, links herum oder rückwärts fort. Erreichen wir dabei die Gegenrichtung zu der Richtung, unter der wir unser Ausgangsfeld begonnen haben, so ist die Prozedur beendet. Auf diese Weise wird die gesamte Baumstruktur durchmustert, wie in Fig. 3 an einer einfachen Baumstruktur graphisch demonstriert ist. Das Prinzip „immer rechts herum“ wird durch die gestrichelte Linie angezeigt. Alternativ wäre „immer links herum“.

Die so entworfene Idee müssen wir nun an der Hardware (sprich Schachbrett und programmierbarer Taschenrechner) konkretisieren. Zu diesem Zweck legen wir das Schachbrett in ein Koordinatensystem und erhalten so nach Fig. 4 die Feldparameter i (Zeilenwert) und j (Spaltenwert). Mit der Angabe der aktuellen Parameter (i, j) ist also der jeweilige Stand auf dem Schachbrett definiert. Das Prinzip „immer rechts herum“ ist damit für ein Ausgangsfeld (i_1, j_1) durch die Veränderung der Parameter auf folgende Art, wie Fig. 5 zeigt, gekennzeichnet:

$$\begin{aligned}i_2 &= i_1 & j_2 &= j_1 + 1 \\i_3 &= i_2 - 1 & j_3 &= j_2 \\i_4 &= i_3 & j_4 &= j_3 - 1 \\i_1 &= i_4 + 1 & j_1 &= j_4\end{aligned}$$

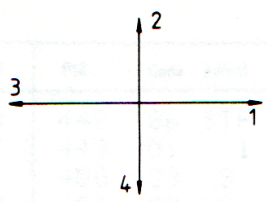


Fig. 6

In allgemeiner Form:

$$i_{n+1} = i_n + \Delta i; \quad j_{n+1} = j_n + \Delta j \quad (1)$$

wobei Δi und Δj zyklisch die Werte 0, -1, 0, 1 durchlaufen. Wenn wir nun in bezug auf das Schachbrett die vier möglichen Richtungen, wie in Fig. 6 gezeigt, festlegen, erhalten wir zwischen Richtung r und den beiden Feldveränderungsparametern Δi und Δj , folgenden funktionalen Zusammenhang:

r	Δi	Δj
1	0	+1
2	+1	0
3	0	-1
4	-1	0

Dies wird auch durch folgende Gleichungen wiedergegeben:

$$\Delta i = 1 - \text{abs}(r - 2) \quad \Delta j = \text{abs}(3 - r) - 1 \quad (2)$$

Zur Richtung r gibt es auch noch die Gegenrichtung $g(r)$, die wir später ebenfalls benötigen. Hier haben wir den Zusammenhang

r	$g(r)$
1	3
2	4
3	1
4	2

Diesen ergibt auch die Gleichung

$$g(r) = r + \text{sgn}(2.5 - r) \times 2 \quad (3)$$

Weiterhin müssen wir jeden Besuch eines Feldes codiert registrieren. Dazu ordnen wir jedem Schachbrettfeld ein Datenregister zu. Da diese fortlaufende Adressen besitzen, muß sich das entsprechende Register

$R(n) = R(i, j)$ aus den aktuellen Feldparametern bestimmen. Sei dazu a die niedrigste Adresse des Registers. Dann ist eine mögliche Zuordnung

$$R(i, j) = R(a + (j - 1) + 8(i - 1)) = R(a - 9 + j + 8i) \quad (4)$$

Für $i = j = 8$ ergibt sich so

$R(8, 8) = R(a - 9 + 8 + 64) = R(a + 63)$ und damit die besagten 64 Felder des Schachbretts. Beim Besuch eines Feldes kann dieser codiert in dem so zugeordneten Register notiert werden. Dies geschieht von Ankunfts- und Weggehrichtung mit steigender Zehnerpotenz. Danach bedeutet z. B. der Inhalt eines Registers von

1 4 3 2

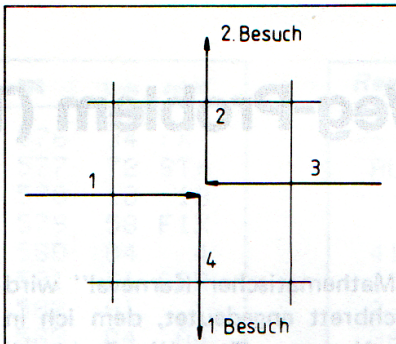


Fig. 7

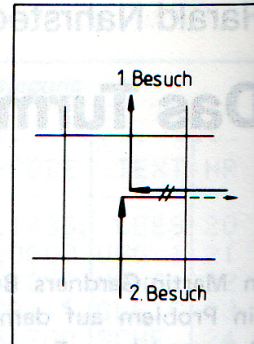


Fig. 8

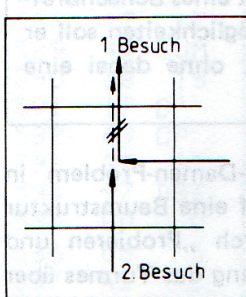


Fig. 9

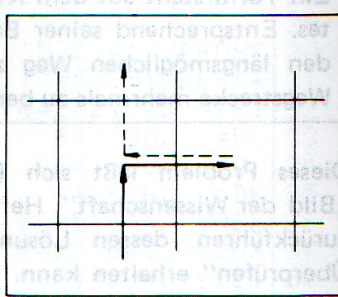


Fig. 10

die in Fig. 7 wiedergegebene Bewegung. Dieses Beispiel macht darüber hinaus deutlich, daß ein Feld höchstens zweimal besucht werden kann. Bei 64 Schachbrettfeldern ergibt sich damit eine theoretische Lösung unseres Problems von 128 Feldern. Dies wird jedoch praktisch nicht möglich sein.

Kommen wir zum schwierigsten Teil des Problems, den Restriktionen. Diese unterteilen sich in die Feld- und Belegrestriktionen. Die ersten sind leicht erklärt. Gilt

$$0 = i \text{ oder } i = 8 \\ \text{bzw. } 0 = j \text{ oder } j = 8,$$

so befinden wir uns außerhalb des Schachbretts. Bei den Belegrestriktionen wird es etwas komplizierter. Wie man dem Beispiel in Fig. 7 entnehmen kann, vollzieht sich ein Besuch in zwei Phasen, der Ankunfts- und Weggehphase. Dabei ist die Ankunftsphase die Weggehphase des vorherigen Feldes. Wir interessieren uns im weiteren für die Weggehphase. Zunächst einmal ist der Besuch eines Feldes generell möglich, da durch den Algorithmus niemals eine zuvor durchlaufene Richtung noch einmal beschritten wird. Nach der Lage des Feldes und den vorhandenen Belegungen unterscheiden sich die Belegrestriktionen in diejenigen, die den Schritt „links herum“ bewirken und in diejenigen, die einen Rückschritt einleiten. Zur ersten Kategorie zählen die beiden ersten der nachfolgenden drei Punkte.

1. Wird nach Fig. 8 die Gegenrichtung zur Ankunftsrichtung des 1. Besuches eingeschlagen, so muß vom Prinzip „rechts herum“ abgewichen werden.
2. Wird nach Fig. 9 die Richtung zur Weggehrichtung des 1. Besuches eingeschlagen, so ist auch hier „rechts herum“ nicht möglich.

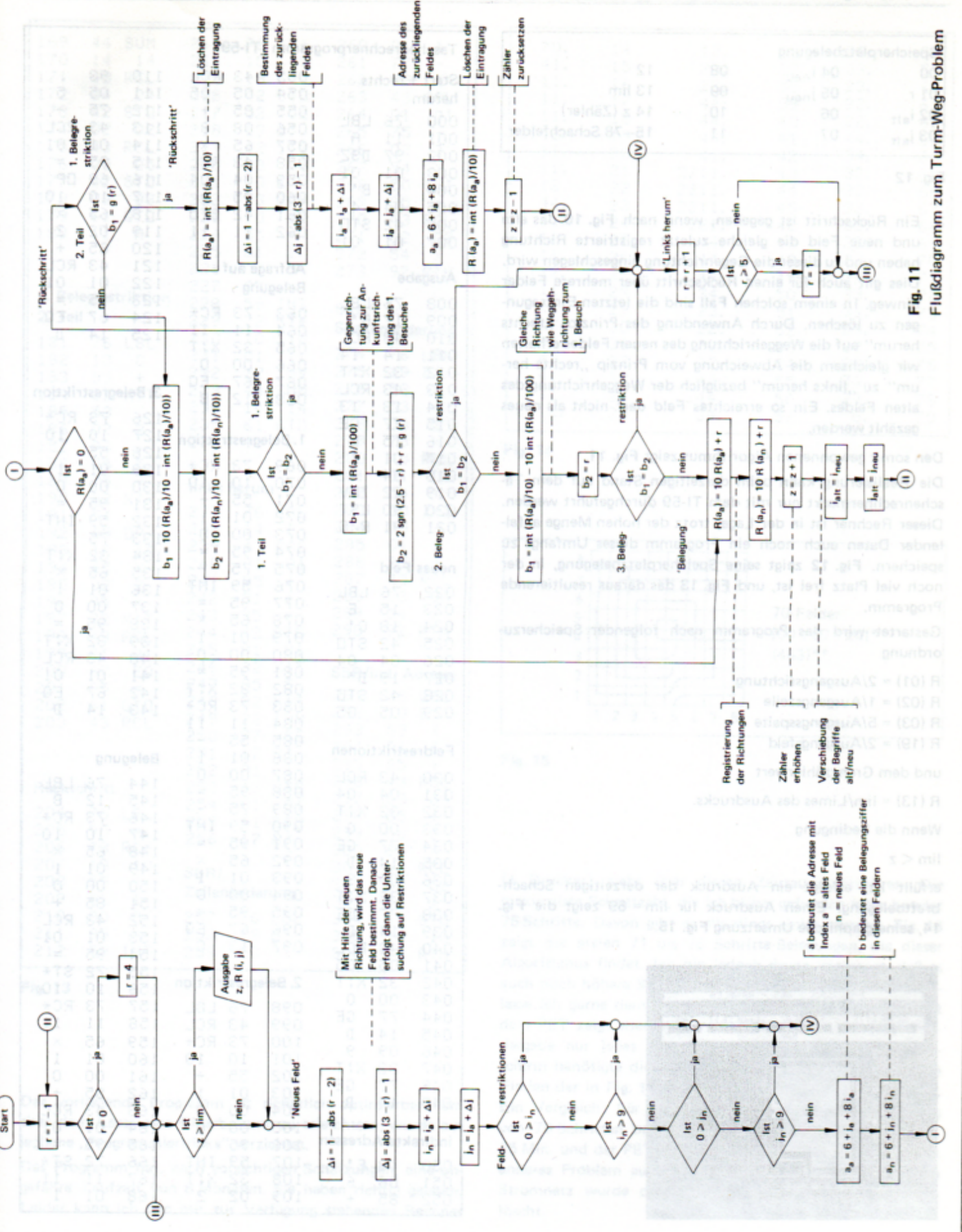


Fig. 11 Flußdiagramm zum Turm-Weg-Problem

Speicherplatzbelegung			
00	04 i _{neu}	08	12
01 r	05 j _{neu}	09	13 lim
02 i _{alt}	06	10	14 z (Zähler)
03 j _{alt}	07	11	15-78 Schachfelder

Fig. 12

3. Ein Rückschritt ist gegeben, wenn nach Fig. 10 das alte und neue Feld die gleiche zuletzt registrierte Richtung haben und zu dieser die Gegenrichtung eingeschlagen wird. Dies gilt auch für einen Rückschritt über mehrere Felder hinweg. In einem solchen Fall sind die letzten Eintragungen zu löschen. Durch Anwendung des Prinzips „rechts herum“ auf die Weggerichtung des neuen Feldes erhalten wir gleichsam die Abweichung vom Prinzip „rechts herum“ zu „links herum“ bezüglich der Weggerichtung des alten Feldes. Ein so erreichtes Feld darf nicht als neues gezählt werden.

Den somit gewonnenen Algorithmus zeigt Fig. 11.

Die Realisierung kann beim derzeitigen Stand auf dem Taschenrechnermarkt nur mit dem TI-59 durchgeführt werden. Dieser Rechner ist in der Lage, trotz der hohen Menge anfallender Daten auch noch ein Programm dieses Umfangs zu speichern. Fig. 12 zeigt seine Speicherplatzbelegung, in der noch viel Platz frei ist, und Fig. 13 das daraus resultierende Programm.

Gestartet wird das Programm nach folgender Speicherzuordnung:

R (01) = 2/Ausgangsrichtung

R (02) = 1/Ausgangszeile

R (03) = 5/Ausgangsspalte

$$R(19) = 2/Ausgangsfeld$$

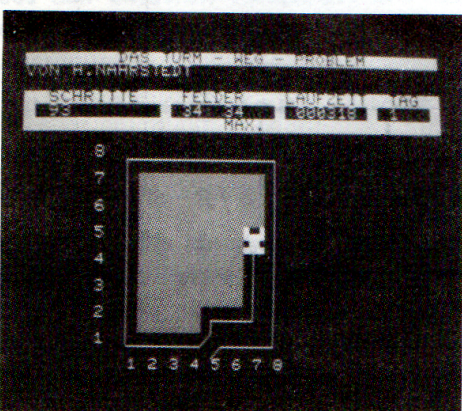
und dem Grenzzählerwert

R (13) = lim/Limes des Ausdrucks

Wenn die Bedingung

$$\lim < z$$

erfüllt ist, erfolgt ein Ausdruck der derzeitigen Schachbrettbelegung. Einen Ausdruck für $\lim = 69$ zeigt die Fig. 14, seine graphische Umsetzung Fig. 15.



Taschenrechnerprogramm (TI-59)							
Start + rechts	053	43	RCL	110	93	.	
herum	054	05	05	111	05	5	
000 76 LBL	055	85	+	112	75	-	
001 11 A	056	08	8	113	43	RCL	
002 97 DSZ	057	65	X	114	01	01	
003 01 01	058	43	RCL	115	95	=	
004 17 B*	059	04	04	116	69	DP	
005 04 4	060	95	=	117	10	10	
006 42 STO	061	42	STO	118	65	X	
007 01 01	062	11	11	119	02	2	
				120	85	+	
Ausgabe		Abfrage auf Belegung			121	43	RCL
					122	01	01
008 76 LBL	063	73	RC*	123	95	=	
009 17 B*	064	11	11	124	67	EQ	
010 43 RCL	065	32	XIT	125	14	D	
011 14 14	066	00	0				
012 32 XIT	067	67	EQ				
013 43 RCL	068	12	B				
014 13 13							
015 77 GE				126	73	RC*	
016 15 E				127	10	10	
017 01 1	069	73	RC*	128	55	÷	
018 04 4	070	10	10	129	01	1	
019 22 INV	071	55	÷	130	00	0	
020 90 LST	072	01	1	131	95	=	
021 91 R/S	073	00	0	132	59	INT	
				133	75	-	
				134	32	XIT	
neues Feld		075	75	-	135	65	X
022 76 LBL	076	59	INT	136	01	1	
023 15 E	077	95	=	137	00	0	
024 18 C*	078	65	X	138	95	=	
025 42 STO	079	01	1	139	32	XIT	
026 04 04	080	00	0	140	43	RCL	
027 19 D*	081	95	=	141	01	01	
028 42 STO	082	32	XIT	142	67	EQ	
029 05 05	083	73	RC*	143	14	D	
				144	11	11	
Feldrestriktionen		085	55	÷			
		086	01	1	Belegung		
030 43 RCL	087	00	0				
031 04 04	088	95	=	144	76	LBL	
032 32 XIT	089	75	-	145	12	B	
033 00 0	090	59	INT	146	73	RC*	
034 77 GE	091	95	=	147	10	10	
035 14 D	092	65	X	148	65	X	
036 09 9	093	01	1	149	01	1	
037 32 XIT	094	00	0	150	00	0	
038 77 GE	095	95	=	151	85	+	
039 14 D	096	67	EQ	152	43	RCL	
040 43 RCL	097	13	C	153	01	01	
041 05 05				154	95	=	
042 32 XIT				155	72	ST*	
043 00 0	098	76	LBL	156	10	10	
044 77 GE	099	43	RCL	157	73	RC*	
045 14 D	100	73	RC*	158	11	11	
046 09 9	101	10	10	159	65	X	
047 32 XIT	102	55	÷	160	01	1	
048 77 GE	103	01	1	161	00	0	
049 14 D	104	00	0	162	85	+	
				163	43	RCL	
				164	01	01	
indirekte Adressen		105	00	0			
		106	95	=	165	95	=
050 10 E*	107	59	INT	166	72	ST*	
051 06 6	108	32	XIT	167	11	11	
052 85 +	109	02	2	168	01	1	

169	44	SUM	213	72	ST*	260	01	1
170	14	14	214	10	10	261	75	-
171	43	RCL	215	18	C'	262	53	(
172	04	04	216	42	STO	263	43	RCL
173	42	STO	217	02	02	264	01	01
174	02	02	218	19	D'	265	75	-
175	43	RCL	219	42	STO	266	02	2
176	05	05	220	03	03	267	54)
177	42	STO	221	10	E'	268	50	IXI
178	03	03	222	73	RC*	269	85	+
179	61	GTO	223	10	10	270	43	RCL
180	11	A	224	55	÷	271	02	02
			225	01	1	272	54)
			226	00	0	273	92	RTN
			227	95	=			
1. Belegrestriktion								
2. Teil								
181	76	LBL	230	10	10	274	76	LBL
182	13	C	231	01	1	275	19	D'
183	85	+	232	22	INV	276	53	(
184	32	XIT	233	44	SUM	277	53)
185	53	(234	14	14	278	03	3
186	02	2	235	61	GTO	279	75	-
187	93	.	236	11	A	280	43	RCL
188	05	5				281	01	01
189	75	-				282	54)
190	32	XIT	237	76	LBL	283	50	IXI
191	54)	238	14	D	284	75	-
192	69	DP	239	43	RCL	285	01	1
193	10	10	240	01	01	286	85	+
194	65	x	241	85	÷	287	43	RCL
195	02	2	242	01	1	288	03	03
196	95	=	243	95	=	289	54)
197	32	XIT	244	42	STO	290	92	RTN
198	43	RCL						
199	01	01	245	01	01			
200	67	EQ	246	32	XIT			
201	95	=	247	05	5			
202	61	GTO	248	32	XIT			
203	43	RCL	249	22	INV			
			250	77	GE			
			251	17	B'			
			252	01	1			
Rückschritt								
204	76	LBL	253	42	STO	296	43	RCL
205	95	=	254	01	01	297	03	03
206	73	RC*	255	61	GTO	298	85	+
207	10	10	256	17	B'	299	08	8
208	55	÷				300	65	x
209	01	1				301	43	RCL
210	00	0	257	76	LBL	302	02	02
211	95	=	258	18	C'	303	54)
212	59	INT	259	53	(305	10	10
						306	92	RTN

Fig. 13

70.	14		12.	36	33.	58
41.	15		22.	37	33.	59
11.	16		22.	38	23.	60
11.	17		44.	39	22.	61
11.	18		44.	40	22.	62
2112.	19		44.	41	44.	63
11.	20		41.	42	34.	64
11.	21		2211.	43	33.	65
12.	22		2211.	44	33.	66
44.	23		2211.	45	33.	67
41.	24		221.	46	33.	68
11.	25		44.	47	23.	69
11.	26		44.	48	22.	70
2112.	27		44.	49	34.	71
11.	28		34.	50	33.	72
12.	29		23.	51	33.	73
22.	30		22.	52	33.	74
44.	31		22.	53	33.	75
44.	32		22.	54	33.	76
41.	33		44.	55	33.	77
11.	34		44.	56	23.	78
2112.	35		34.	57	0.	79

Fig. 14

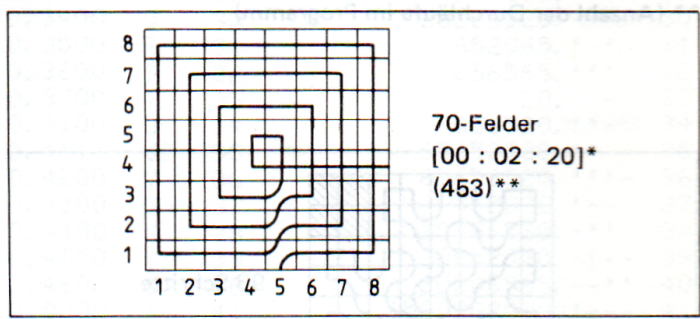


Fig. 15

(+ Drucker) nicht über diesen Zeitraum entbehren. Die maximalste Schrittzahl, die ich bisher gefunden habe, beträgt 76-Schritte. Davon gibt es allerdings einige tausend. Fig. 16 zeigt die ersten 71 bis 76 Schritte-Belegungen, die dieser Algorithmus findet. Ich bin jedoch davon überzeugt, daß es auch noch höhere Schritte-Belegungen gibt. Das Finden überlasse ich gerne dem Leser. Ein Versuch der Berechnung mit dem PET zeigt ebenfalls lange Rechenzeiten. Bei einer Wiedergabe nur jedes tausendsten Durchlaufes auf dem Bildschirm benötigte dieser eine Zeit von 643 Std. 25 Min. zum Finden der in Fig. 17 wiedergegebenen 76-Schritte-Belegung. Ein Vergleich: Für die in Fig. 16 wiedergegebene Belegung von 70 Schritten benötigte der TI-59 eine Zeit von 1 Std. 15 Min. und der PET 2,5 Min. Beim PET trat auch noch ein anderes Problem auf. Durch kurzfristige Schwankungen im Stromnetz wurde das Programm im Rechner zweimal gelöscht.

Das vorliegende Programm ist sicherlich optimierbar. Um aber dem Leser eine Einarbeitung zu erleichtern, wurde auf jegliche „Programmiertricks“ verzichtet.

Das Programm hat, nach vorsichtigen Schätzungen, eine ungefähre Laufzeit von 6 Monaten. Sie haben richtig gelesen. Leider kann ich den mir zur Verfügung stehenden Rechner

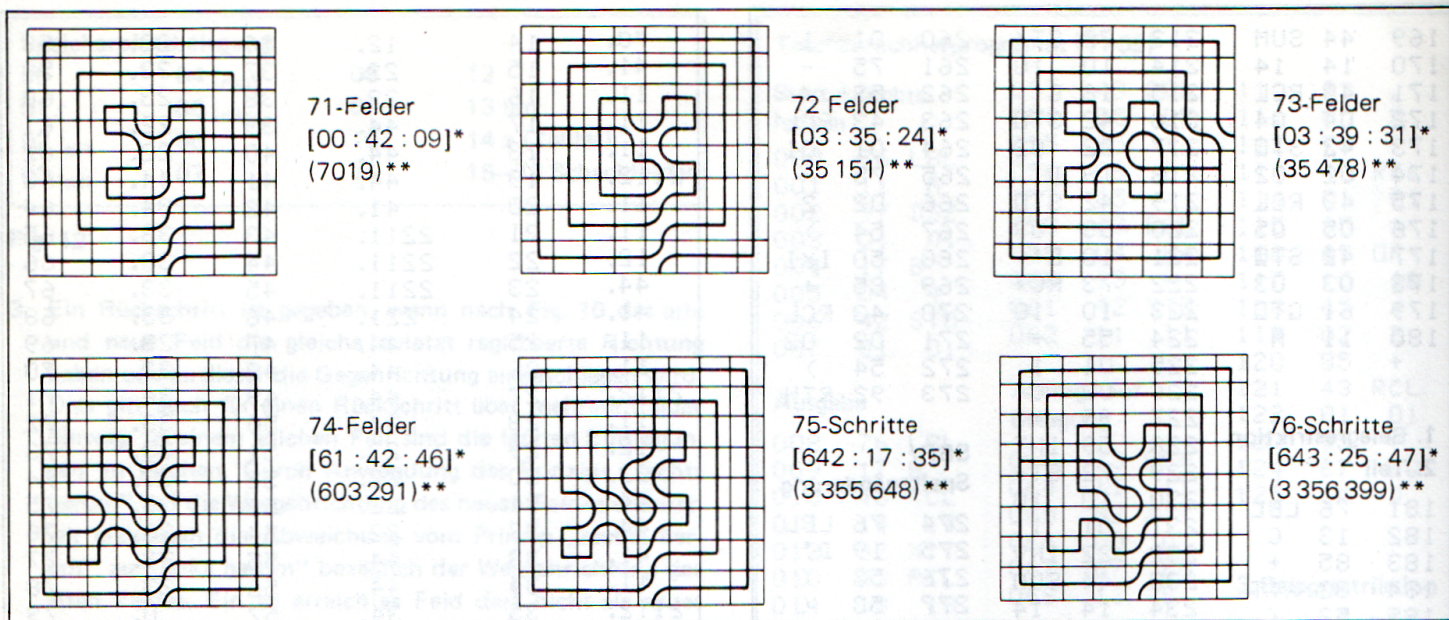


Fig. 16

Die Berechnung auf dem PET 2001 (heute Stand zur Zeit des Commodore) ergab:

* Zeit in [Std. : Min : Sek]

** (Anzahl der Durchläufe im Programm)

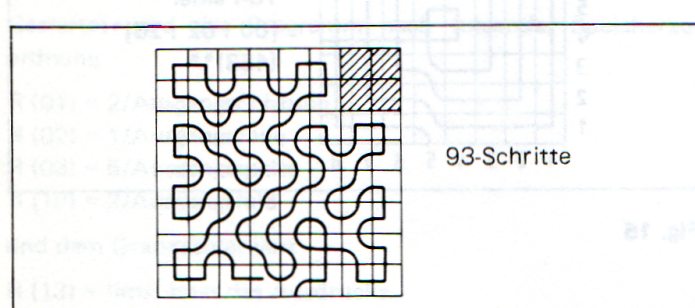


Fig. 17

Zu diesem Zeitpunkt hatte der Rechner 41 900 verschiedene 70-Schritte-Belegungen gefunden.

Zum Abschluß möchte ich noch aufzeigen, zu welcher weiteren Nutzung dieses Programm beitragen kann. Es läßt sich nämlich zu einem Analyseprogramm für Schachprobleme ausbauen. Statt der leeren Schachfelder können diese mit Ziffern belegt werden, die einer Schachfigur zugeordnet sind und deren Größe die Priorität (= Bedeutung) der Figur darstellt. Auf diese Weise lassen sich für jede eigene Figur durch Bestimmung des Ausgangsfeldes alle Zugmöglichkeiten untersuchen. Die Bearbeitungszeit richtet sich dann nach der Belegung. Sie ist jedoch sicherlich nicht so lang wie die des vorliegenden Problems. Und etwas ist sicher: Die Analyse eines solchen Programms zeigt den oder die optimalen Wege und nicht, wie die auf dem Markt befindlichen Schachcomputer, nur Standardzüge. Es ist eben alles eine Frage der Zeit.

P.S.

Nach neuesten vorsichtigen Schätzungen glaube ich eher an eine Laufzeit von 12 Monaten. Daß es noch höhere Schritt-Belegungen gibt, zeigt die durch Versuche gewonnene Belegung in Fig. 17.